

氣象預報與分析第八十二期（民國69年2月）

1969年衛歐拉颱風過境期間大尺度大氣結構之研究

邱爾文

A Study of the Characteristics of Large-scale Atmospheric Conditions during the Passage of Typhoon Viola(1969)

Er-Woon Chiou

ABSTRACT

A diagnostic analysis is presented of the characteristics of large-scale atmospheric flow in the southeastern part of Continental China during the 3-day (27 July 1969 to 29 July 1969) period of typhoon Viola's (1969) passage.

Data used in this study consist primarily of 00GMT and 12GMT rawinsonde reports at standard pressure levels. Analysis of the following observed and computed quantities are performed: zonal and meridional wind components, temperature, equivalent potential temperature and relative humidity. Divergence, vorticity and vertical velocity fields are computed using pentagon method developed by Chien and Smith (1973) and adjusted according to a scheme by O'Brien (1970). Results have also been examined separately for Viola's mature stage and decaying stage.

Using a quasi-Lagrangian approach, various terms in the vorticity equation are computed, followed by a discussion of the contribution of each term at different layers.

It is indicated that during the passage of Viola, its circulation has an impact on the large-scale flow and it appears that deep cumulus convection associated with Viola plays an important role in the large-scale vorticity budget.

一、緒言

熱帶氣旋所挾帶之狂風、暴雨及湧浪往往造成巨大的生命財產損失。以台灣為例，據統計1961年至1970年十年中因颱風而引起之損失，高達新台幣六十八億元，平均每年損失六億以上。前年（民國66年）的賽洛瑪颱風對台灣南部造成之風災，有形與無形的損失，可能不止一百億。

為增進吾人對颱風的瞭解，以便更有效提高颱風預報之準確度，從而減少颱風侵襲之損害，國內外許多學者專家，先後採用各種不同方法，進行有關颱風問題的研究，已經獲致顯著的成就。近年來有關颱風研究方面的論著吳氏（1978）及汪氏與張氏（1978）等曾作了詳細的介紹。

有關颱風特性及結構方面的研究，大致可分為兩種。第一種是用數值模式，來模擬颱風的特性，如Ooyama（1969）與Anthes et al.（1971）之研究。第二種則是根據實測的結果，利用地面及高空資料，分析有關颱風環流及能量之各種參數，如早期Jordan and Jordan（1954）及近年來Vincent, Gommel & Chang（1974），Vincent & Chang（1975）與Frank（1977）之研究。以上兩種研究都很重要，其研究成果均有助於增進吾人對颱風之更深入瞭解。

國內對颱風之研究最近十多年來在國科會規劃與協調下，已經有了很大的進展。可是研究內容，多半偏重於颱風路徑及其相關之風雨以及數值預報。由於西太平洋颱風內部資料不夠完整，有關颱風特性及結構方面的研究並不多見。曲氏（1975）與江氏（1976）曾利用飛機偵察報告及台灣之探空資料對颱風的某些特性進行分析。自從國科會於民國62年委託空軍氣象聯隊整理出中國大陸各測站十年（民國52年至61年）的探空資料以後，充分利用該資料，並配合亞洲天氣圖，對通過台灣附近海面並在華南沿海登陸的颱風，進行診斷分析的時機已經成熟。這種診斷分析，雖然不能像有足夠的飛機偵察資料的大西洋颶風那樣求得颱風內部的詳細構造，但是却仍然可以探討颱風附近地區的大尺度大氣環流結構及能量傳輸過程，並且能獲得極富參考價值的一些重要結果。Chang & Chiou（1979）與作者（1978）的研究，就是很好的例證。

本研究可視為上述研究工作的延續。其特點是由過去在華南沿海登陸的颱風中，選取一個入內陸甚深，在陸上移行甚久之颱風（1969年衛歐拉颱風），對颱風附近的大尺度大氣結構進行診斷分析。分析的時間共計三天，由該氣旋系統為強烈颱風階段（中心氣壓895mb）一直到逐漸減弱而轉為熱帶低壓（氣壓988mb）時為止。

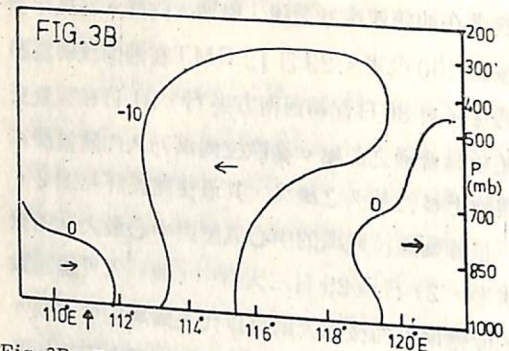


Fig. 3B. Same as Fig. 3A except for 12GMT, 29th July)

圖 3B、內容與圖 3A 相同（但時間為 29 日 12 GMT）

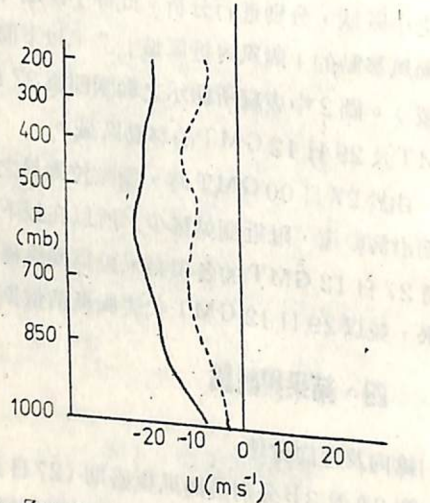


Fig. 4. Zonal wind component (m/sec) averaged over moving area for Viola's mature stage (solid line) and decaying stage (dotted line).

圖 4、颱風極盛期與消散期移動區域平均緯向分速 (m/sec)（實線表極盛期，虛線表消散期）

線與虛線分別顯示颱風極盛期與消散期移動區域之平均緯向分速垂直分佈情形。由該圖獲知的重要特性包括：(1) 颱風過境期間，颱風附近區域的垂直風切非常微弱，(2) 各層之緯向風速，極盛期均較消散期為強。另由圖 5A 與 5B 所顯示沿颱風移行路徑經向風速垂直剖面可看出，極盛期與消散期的經流有一共同特徵，即在颱風附近約 100 公里以內，地面至 300 mb 左右均吹南風，而距颱風中心約三四百公里地方則出現比較厚的北風層。由華南地區之氣候資料得知，在夏季裡該區域的經向風速，300 mb 以下各層均為正值，而 300 mb 以上則為負值。若與圖 5A 與 5B 比較，可發現颱風極盛期 110

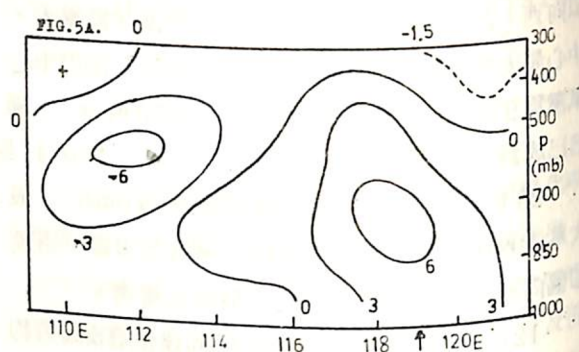


Fig. 5A. Same as Fig. 3A except for meridional wind component (m/sec).

圖 5A、內容與圖 3A 相同（但為經向風速）

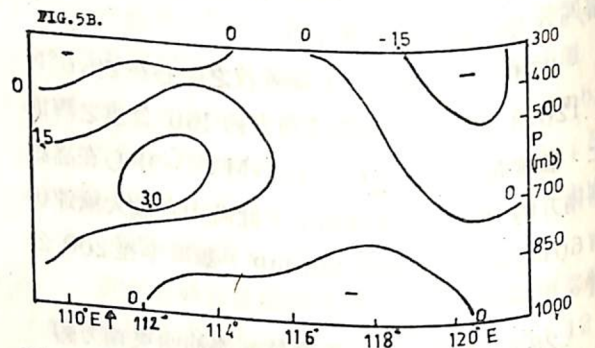


Fig. 5B. Same as Fig. 5A except for 12GMT, 29th July.

圖 5B、內容與圖 5A 相同（但時間為 29 日 12 GMT）

°E 至 114°E 左右經向風之方向與夏季一般狀況剛好相反，而到了颱風消散期便恢復到夏季一般狀況。

(二) 热結構

衛歐拉颱風過境期間大尺度大氣的熱結構如圖 6 與圖 7 所示。其中圖 6 為移動區域溫度距平垂直分佈情形，實線與虛線分別代表極盛期與消散期。各層之距平是由移動區域之平均溫度減去整個華南地區同一時間的平均溫度。從極盛期到消散期，在 250 mb 以下各層，颱風附近區域（即移動區域）一直比整個華南地區暖和，而 250 mb 以上則比較冷。由大尺度垂直風速分佈圖 8A 與 8B 獲知，在颱風附近有明顯的上升氣流，產生絕熱冷卻作用。因此圖 6 所顯示中對流層（700 mb 至 250 mb 左右）的正距平，可能由於深積雲對流這種較小尺度（次網格）過程，對大尺度有暖和作用而引起。250 mb 以上的負距平可以解釋為弱絕熱上升及頂上的紅外線輻射冷卻所導致之結果。

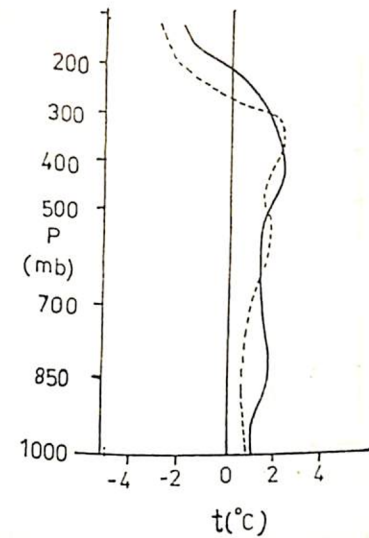


Fig. 6. Temperature anomalies for Viola's mature stage (solid line) and decaying stage (dotted line).

圖 6、移動區域溫度距平（實線表極盛期，虛線表消散期）

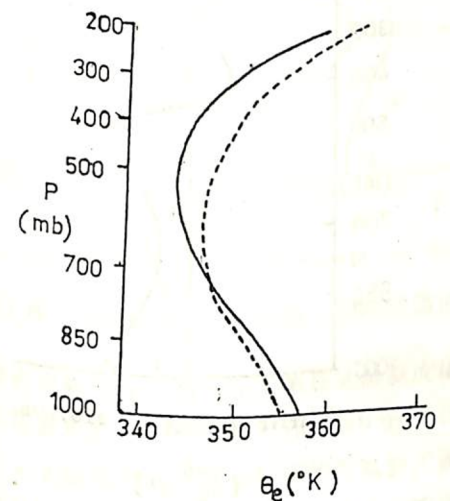


Fig. 7. Profile of equivalent potential temperature for moving area (solid line: mature stage; dotted line: decaying stage).

圖 7、移動區域相當位溫垂直分佈（實線表極盛期，虛線表消散期）

圖 7 中實線與虛線分別代表颱風極盛期與消散期移動區域的相當位溫垂直分佈情形。颱風附近低對流層很顯著地出現大尺度條件不穩定層。地面至 700 mb，相當位溫隨高度的遞減，颱風極盛期較消散期為快。同時也可以看出，颱風極盛期，因空氣之對流旺盛，大尺度條件不穩定層比較厚，由地面延伸至 500 mb，厚度約為 5000 公尺。

(三) 垂直風速與水汽

圖 8A 及 8B 為颱風極盛期與消散期沿颱風移行路徑之垂直風速剖面圖。由該二圖可看出颱風中心附近為上升氣流，而距颱風中心兩三百公里以外，颱風前後兩側均為下降氣流。圖 8A 中颱風後側下降氣流區以及圖 8B 中颱風前側下降氣流區因為在分析範圍以外，所以未能顯示於圖中。颱風極盛期與消散期的上升氣流極大值 ($5 \mu\text{bs}^{-1}$ 與 $3 \mu\text{bs}^{-1}$) 均出現在颱風中心附近 500 mb 的高度。極盛期的上升氣流與下降氣流均較消散期為強盛。

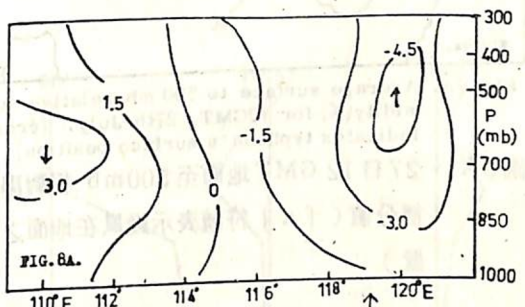


Fig. 8A. Cross section of vertical velocity ($\mu\text{b/sec}$) along Viola's path for 12GMT, 27th July.

圖 8A、27 日 12 GMT 沿颱風移行路徑垂直風速 ($\mu\text{b/sec}$) 剖面圖（線箭頭表地面之颱風位置）

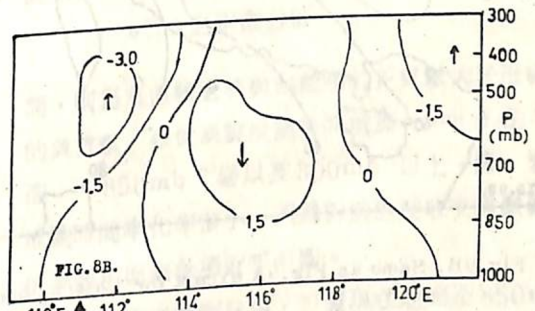


Fig. 8B. Same as fig. 8A except for 12GMT, 29th July.

圖 8B、內容與圖 8A 相同（但為 29 日 12 GMT）

衛歐拉颱風過境期間華南地區水汽含量分佈情形如圖 9A 與 9B 所示。該二圖中繪有地面至 500 mb 層相對濕度垂直積分值之等值線。颱風中心位置也以「X」符號標明在圖中。颱風極盛期一直到消散期，整個地區均維持相當豐富的水汽。與圖 8A 及 8B 相對照，可發現較大的相對濕度所在地

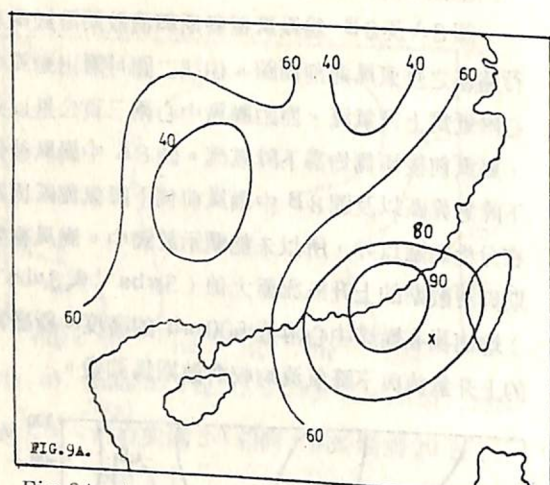


Fig. 9A. Average surface to 500 mb relative humidity(%) for 12GMT, 27th July. (cross indicates typhoon's surface position)

圖 9A、27 日 12 GMT 地面至 500mb 相對濕度積分值（「x」符號表示颱風在地面之位置）

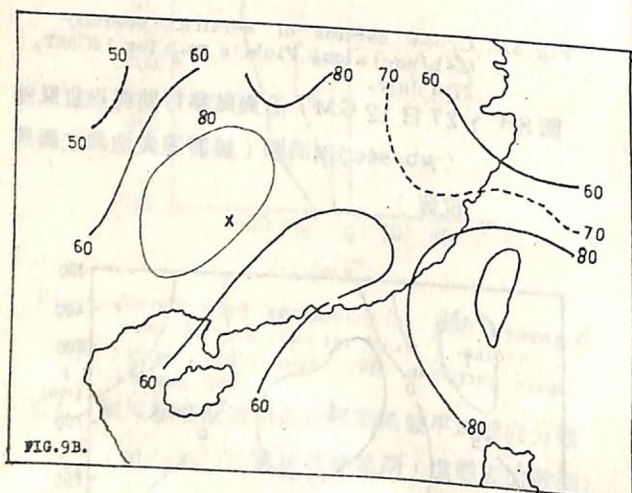


Fig. 9B. Same as Fig. 9A except for 12GMT, 29th July.

圖 9B、與圖 9A 相同（但為 29 日 12 GMT）

正好與比較旺盛的上升氣流相吻合，另一方面，相對濕度比較小的區域，也正好對應下降氣流區。

四幅散量與渦旋度

除了垂直速度外，本研究並對幅散量與渦旋度等運動學參數進行分析。圖 10A 與 10B 即為移動區域的幅散量與渦旋度垂直分佈圖。實線與虛線分別代表極盛期與消散期。由圖 10A 可以看出，在極盛期低層的幅合作用與高層的幅散作用均非常明

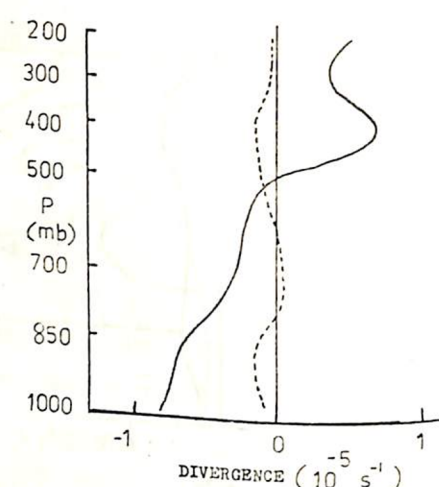


Fig. 10A. Profile of Divergence for moving area. (solid line: mature stage; dotted line: decaying stage)

圖 10A、移動區域輻散量垂直分佈（實線表極盛期，虛線表消散期）

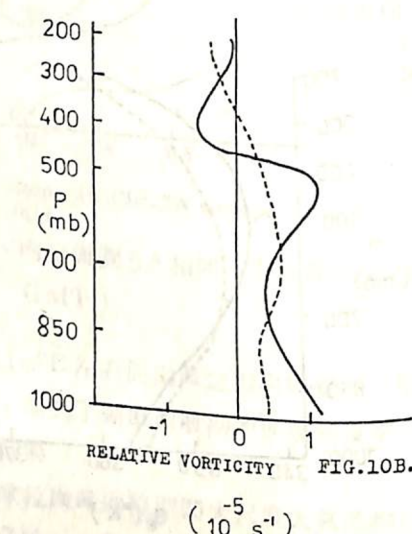


Fig. 10B. Same as Fig. 10A except for profile of relative vorticity.

圖 10B、與圖 10A 相同（但為相對渦旋度之垂直分佈）

顯；而在 500mb 左右出現無幅散層。颱風消散期的幅散量垂直分佈就比較不規則。另由圖 10B 顯示，從極盛期一直到消散期，颱風附近區域大約 400mb 以下均為氣旋式渦旋度，而在 400mb 以上則為反氣旋式渦旋度。

圖 11A 與 11B 分別代表極盛期與消散期沿颱風移行路徑之渦旋度剖面圖。該二圖所顯示之特性包括：(1) 在颱風中心位置後側 700mb 高度均出現

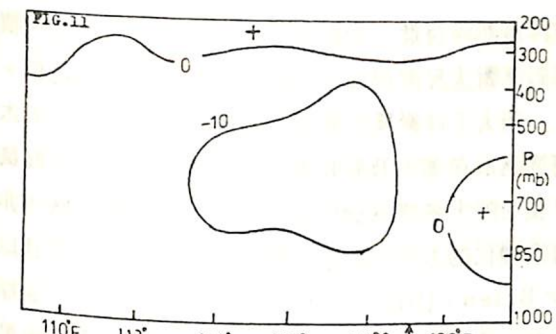


Fig. 11A. Cross section of relative vorticity (10^{-5} s^{-1}) along Viola's path for mature stage. (Arrow indicates typhoon's surface position)

圖 11A、極盛期沿颱風移行路徑之渦旋度 (10^{-5} s^{-1}) 剖面圖，底線箭頭表地面之颱風位置

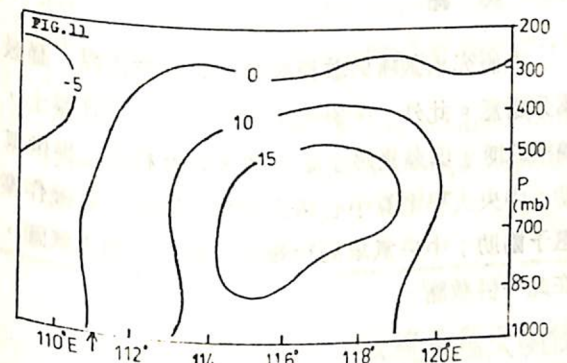


Fig. 11B. Same as Fig. 11A except for decaying stage.

圖 11B、內容與圖 11A 相同（但時間為消散期）

氣旋式渦旋度極大值，而反氣旋式渦旋度極大值則出現在颱風前側中對流層（600mb 至 350mb 之間）。(2) 颱風前側有延伸較厚的反氣旋式渦旋度，而颱風後側在較高層才出現反氣旋式渦旋度。

圖 12 顯示颱風極盛期大尺度大氣的渦旋度收支。該圖中各項係根據(1)式，採用 Vicent 與 Chang (1973) 所提出之移動座標系統方法求得。因此，其中之水平輸送量，不僅包含風所產生之渦旋度水平輸送，同時也包含颱風附近區域邊界移動所產生之影響。

圖 12 中關於渦旋度收支的比較重要的結果有下列幾點 (i) 由 850mb 至 300mb 之間絕對渦旋度隨時間之變化為正。(ii) 由 850mb 至 500mb，輻散項對渦旋度收支的正貢獻大於水平輸送量的負貢獻，致使渦旋度隨時間增加。其他各項的貢獻很小，可以忽略不計。而在 500mb 至 300mb 之

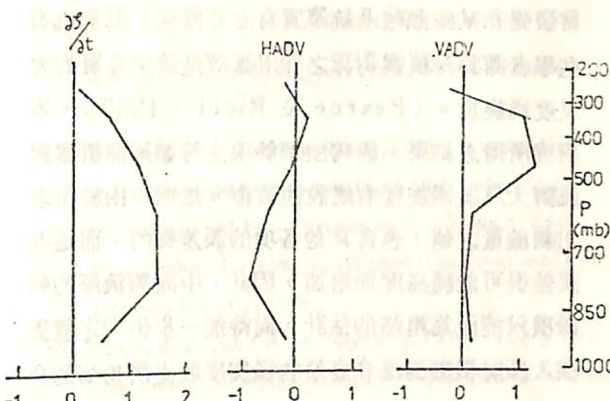


Fig. 12. Vorticity budget terms (10^{-10} s^{-2}) in equation(1) for 12GMT, 27th July.

圖 12、颱風極盛期(1)式渦旋度收支各項 (10^{-10} s^{-2}) 之垂直分佈

間，則為垂直輸送項與剩餘項的正貢獻大於扭轉項的負貢獻，致使渦旋度隨時間增加。(iii) 在“地面—850mb”層以及 300mb 以上一層，渦旋度隨時間率化率很小，因為對渦旋度收支貢獻較大的輻散項與剩餘項近乎平衡。

進一步考察剩餘項，可發現在地面至 850mb 左右，剩餘項為負，而在 850mb 以上各層剩餘項均為正值。若誤差不大，剩餘項正值表示網格尺度渦旋度增加而次網格尺度的渦旋度則有虧損。相反地，負的剩餘項就代表網格尺度的渦旋度有虧損而由較小尺度所賺取。地面至 850mb 的負剩餘項，可視為磨擦效應所引起之結果。至於 850mb 以上的正剩餘項，可能表示深積雲對流能夠將低層小尺度氣旋式渦旋往上升送。如此，則可經由某種尺度間交互作用之機制，在中高對流層對網格尺度渦旋度產生建設性貢獻。Reed & Johnson (1974)

曾發覺在某些熱帶系統確實有上述機制。但是也有些學者認為深積雲對流之作用應該是減少高層的大尺度渦旋度。(Pearce & Riehl, 1969)。本研究所得之結果，能夠由剩餘項之符號推測積雲對流對大尺度渦旋度有建設性貢獻。然而，由於所求出剩餘量之值，包含其他各項的誤差在內，而這些誤差很可能隨高度而增加。因此，中高對流層的剩餘項只能視為粗略的估計。尚待進一步研究才能更深入探討積雲對流在高層的渦旋度收支所扮演的角色。

五、結論

本研究之目的在分析衛歐拉颱風過境期間華南地區大尺度大氣結構的特性，同時並使用移動座標系統分析颱風期間的渦旋度收支。

研究結果顯示，在颱風極盛期，大尺度大氣環流表現出某些特徵，其中包括深厚的東風層，微弱的垂直風切，低層的條件不穩定，低層輻合與高層輻散，深厚的水汽豐富層，強盛的上升氣流以及中低對流層的氣旋式渦旋度和高對流層的反氣旋式渦旋度。

颱風過境期間，颱風環流對大尺度大氣產生很大影響。若將颱風極盛期與消散期比較，大尺度大氣的經流有很大差異。在極盛期， 110°E 至 114°E 之間， 300 mb 以下之經向風速為北風，直到颱風的消散期才告恢復改變為南風。

渦旋度收支之分析獲得下列各重要結果：

(1) 滾旋度方程式中，各項對渦旋度收支之貢獻，在各不同高度有很大區別。 500 mb 以下主要貢獻來自輻散項與水平輸送項，兩者中前者為正貢獻而後者則為負貢獻。其餘各項之貢獻極小。

(2) 在 500 mb 以上，主要為垂直輸送項，扭轉項與剩餘項之貢獻。其中扭轉項為負貢獻，而其餘兩項則為正貢獻。

(3) 在最底下一層(地面至 850 mb) 以及頂層($300-200\text{ mb}$)，貢獻較大的輻散項與剩餘項近乎平衡。

(4) 地面至 850 mb 的負剩餘項為磨擦效應所導致之結果，而 850 mb 以上之正剩餘項可解釋為尺度間的交互作用對大尺度渦旋度產生正貢獻。此種

解釋雖然尚待進一步證實，但是我們可以確定，積雲對流對大尺度渦旋度的盛衰扮演很重要的角色。

西太平洋颱風的觀測資料雖然不夠完整，但本研究選取在華南沿海登陸並在內陸移行較久之颱風，使用陸上各測站探空資料，採用顧及水平風速非線性變化的方估計水平輻散量及渦旋度；而且以 O'Brien (1970) 的修正法估計垂直風速，並採用移動座標系統分析渦旋度收支。結果發現對颱風過境期間大尺度大氣結構已能作相當合理的分析與探討。今後如依此方法多分析幾個類似的颱風，並進一步與颱風動能收支及可用位能收支之研究相配合，必定能增進吾人對颱風特性的更深入瞭解。

誌謝

本研究承張隆男教授與廖學鎰教授指點，謹致萬分謝意。此外，中研院大氣物理組汪群從博士，簡來成博士與蕭錫璋小姐，對蒐集資料熱心提供幫助；中央大學電算中心諸位先生小姐對計算機作業惠予協助；中央氣象局預報中心借予亞洲天氣圖，在此一併致謝。

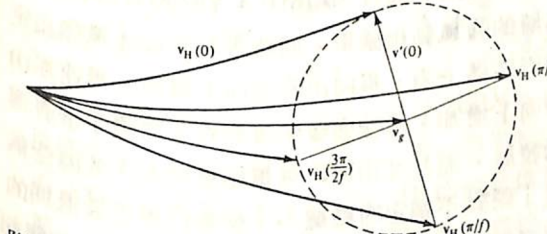
參考文獻

1. 曲克恭，莊思禮，1975：颱風部份特性之分析研究，氣象預報與分析，64期，1~12。
2. 江火明，1976：妮娜颱風侵襲台灣期間之大氣結構變化，氣象學報，22卷1，2期，1~7。
3. 吳宗堯，1978：近年來國內颱風研究之評介，台灣地區災變天氣研討會論文彙編，30~42，中華民國67年5月，南港中研院。
4. 汪群從、張隆男，1978：近年來國外颱風研究之評介，台灣地區災變天氣研討會論文彙編，43~54，中華民國67年5月，南港中研院。
5. 邱爾文，1978：氣旋系統之動能收支研究，氣象學報，24卷4期，1~15。
6. Anthes, R.A., J.W. Trout and S.L. Roseblath, 1971: Comparison of tropical cyclone simulations with and without the assumption of circular symmetry, Mon. Wea. Rev., 99, 759-766.
7. Chang, L.N., 1973: Kinetic energy transfer processes during an extratropical cyclone, Ph.D. Theses, Dept. of Geosciences, Purdue University, Indiana, 110 pp.
8. Chang, L.N., and E.W. Chiou, 1979: Diagnostic study of typhoon Betty, 1972.(presented at 12th. Tech. Conference on Hurricane and Tropical Meteorology, 1979, new Orleans)
9. Chien, H.H., and P.J. Smith, 1973: On the estimation of kinematic parameters in the atmosphere from radiosonde wind data, Mon. Wea. Rev., 101, 252-261.
10. Frank, W.M., 1977: The structure and energetics of the tropical cyclone(I. Storm structure), Mon. Wea. Rev., 105, 1115-1135.
11. Jordan, C.L., and E.S. Jordan, 1954: On the mean structure of tropical cyclones, J. of Meteor., 11, 440-449.
12. O'Brien, J.J., 1970: Alternative solutions to the classical vertical velocity problem, J. Appl. Meteor., 9, 197-203.
13. Ooyama, K., 1969: Numerical simulation of the life cycle of tropicale cyclone, J. Atmos. Sci., 26, 3-40.
14. Pearce, R.P., and H. Riehl, 1969: Parameterisation of convective heat and momentum transfer suggested by analysis of Caribbean data. Proc. WMO/IUGGSymp. Numerical Weather Prediction, Tokyo, 75-84.
15. Reed, R.J., and R.H. Johnson, 1974: The vorticity budget of synoptic scale wave disturbances in the tropical western Pacific, J. Atmos. Sci., 31, 1784-1790.
16. Vincent, D.G., Gommel, W.R. & Chang, L.N., 1974: Kinetic energy study of hurricane Celia, 1971, Mon. Wea. Rev., 102, 35-47.
17. Vincent, D.G., and L.N. Chang, 1975: Kinetic energy budgets of moving systems, Tellus, 27, 215-233.

天晚颱風天明住，天明不住颱倒樹

在極穩定之氣層上會產生較大的風，所以入晚以後地面輻射逆溫層上風速增大，加以夜闌人靜風聲加驟，鄉居之人當秋冬之際總有夜間風大的印象。日出後逆溫層漸失，風速應減小，否則定是系統性的強風，而非前述日變化的產物，其強度與持續性就大了！

為了深入瞭解這句有關風速日變化的諺語，我們可以看一下大氣中的慣性振動 (inertial oscillation)，這種振動是由於柯氏力與氣壓梯



附圖：圖中 $V_H(T)$ 代表 T 時間觀測到的風速向量， V 代表偏地轉風。

- $$\frac{2\pi}{f} = \frac{2\pi}{2\Omega \sin \phi} = \frac{2\pi}{(4\pi/24\text{小時}) \sin \phi}$$
- $$= \frac{12}{\sin \phi} \text{ 小時}$$

所以變化所需時間隨緯度 (ϕ) 而變，各地並不相同，只有在 $\phi = 30^\circ$ 的地方，慣性振動的週期是 24 小時，因而風之日變化會每天都相同。

上述振動一方面受摩擦力的影響，另一方面由於一地之風因系統作用而起之變化很大，所以不易發現，但當逆溫層存在時，空氣穩定而擾流 (eddy) 傳導作用小，致摩擦力局限於地表附近振動隨之明顯。同時由熱力風方程可知：上層之地轉風等於 (低層的地轉風) $\times (T_{\text{上}}^*/T_{\text{低}}^*) + \text{熱力風}$ ，而有逆溫時，上層之虛溫 ($T_{\text{上}}^*$) 大低層之虛溫 ($T_{\text{低}}^*$) 小，即風速較無逆溫時大，亦增強了夜間的風勢。